

# AM 真菌与紫云英 Ri T-DNA 转化根 双重培养体系的建立<sup>\*</sup>

曹 玲 赵 斌<sup>†</sup>

(华中农业大学农业微生物学国家重点实验室, 武汉 430070)

## ESTABLISHMENT OF A DUAL CULTURE SYSTEM FOR ARBUSCULAR MYCORRHIZAL FUNGI AND Ri T-DNA-TRANSFORMED ROOTS OF ASTRAGALUS SINICUS L.

Cao Ling Zhao Bin<sup>†</sup>

(State Key Laboratory of Agricultural Microbiology, Huazhong Agricultural University, Wuhan 430070, China)

关键词 双重培养; 丛枝菌根; 发根农杆菌; 转化根

中图分类号 Q939.5 文献标识码 A

丛枝菌根(Arbuscular mycorrhiza, AM)真菌是一类古老的植物共生真菌,与植物约有4亿年共生史<sup>[1]</sup>,能与80%以上的陆生维管植物形成互惠共生体—丛枝菌根,可以改善植物对磷素营养的吸收<sup>[2-3]</sup>,增强植物的抗逆性、抗病力或耐病力,与根瘤菌共同作用于豆科植物促进豆科植物正常的生长发育,提高产量,在自然生态系统和实践应用中发挥着重要作用<sup>[4-5]</sup>。

AM真菌营专性共生生活,至今尚未实现纯培养,因此对AM真菌的生理学、遗传学以及AM真菌与植物共生分子机制等方面的研究进展缓慢。近30年来一些研究者<sup>[6-9]</sup>将发根农杆菌Ri T-DNA转到高等植物细胞,诱导出转化根,为AM真菌提供无菌宿主材料。转化根自合成冠瘿碱激素可在培养基上无限快速生长,AM真菌对其侵染率较高,形成共生体后外生菌丝生长旺盛。本实验以能够被华癸中生根瘤菌(*Mesorhizobium huakuii*)侵染的紫云英转化根<sup>[10]</sup>作为宿主与AM真菌建立双重培养体系。此双重培养体系将在分子和生化水平上研究AM真菌与豆科植物共生机理及两者之间相互作用提供可操作的技术平台,且有望在此双重培养体系基础上建立AM真菌、豆科植物与根瘤菌离体三

重培养体系,对于揭示两类微生物共侵染过程及相互作用机制有重要意义。

## 1 材料与方法

### 1.1 供试菌株

供试AM真菌菌株为MUCL 43194-*Glomus intraradices*,为Ri T-DNA胡萝卜转化根培养所得(购自BCCM/MUCL)。

供试细菌为发根农杆菌K599(*Agrobacterium rhizogens* K599),链霉素抗性,含质粒pBI121(本实验室生物固氮分室提供)。质粒pBI121为双元载体,含有卡那抗性筛选标记和可表达的GUS基因。

### 1.2 供试植物

紫云英(*Astragalus sinicus* L.),本室保藏。

### 1.3 细菌菌株培养

将-80℃保藏的发根农杆菌K599接种于含50 mg L<sup>-1</sup>链霉素(Str)和50 mg L<sup>-1</sup>卡那霉素(Km)的LB固体培养基,于28℃恒温培养箱暗培养2 d。挑取单菌落接种于LB液体培养基中,28℃振荡培养20 h左右,取生长旺盛的菌液( $OD_{600} = 0.6 \sim 0.8$ )进行侵染试验。

\* 国家自然科学基金项目(30270051)和湖北省国际合作重点项目(2003CA020)项目

† 通讯作者, E-mail: binzhao@mail.hzau.edu.cn

作者简介:曹 玲(1982—),女,硕士,主要研究方向:丛枝菌根生理。E-mail: lingcao82@yahoo.cn

收稿日期:2009-03-03;收到修改稿日期:2009-05-08

## 1.4 紫云英的转化

选取颗粒饱满、大小均匀、有光泽的紫云英种子,用75%乙醇预处理4 min,无菌水冲洗多次,再用3%次氯酸钠表面消毒10 min,无菌水漂洗至完全除去表面残留的次氯酸钠。种子在无菌水中充分吸涨后,均匀铺于水琼脂(0.8%)平板,置于培养箱内22~25℃暗培养至胚根长约1 cm,转至光照培养箱(光照强度8 000 lx),光照时间14 h d<sup>-1</sup>,22~25℃培养3~5 d。取已长出子叶的无菌苗,在下胚轴中部切开,弃根部,将剩余部分的切口处完全浸入K599菌液中。以无菌水处理作为对照,浸泡10 min后,用无菌滤纸吸干植株子叶表面菌液,置于MS培养基上,22~25℃、14 h d<sup>-1</sup>光照培养。3 d后转移到含500 mg L<sup>-1</sup>头孢噻肟钠(Cef)和不同浓度Km(0,20,40,60 mg L<sup>-1</sup>)的MS培养基中进行紫云英除菌培养,同时进行转化根的筛选。

## 1.5 转化根的检测

20 d后从愈伤组织处剪下无向地性、颜色较白、分枝多的根段,标记为A。同时选取对照根段标记为B,重复3次。将剪下的根段放入1.5 ml eppendorf管,加GUS染液(成分:75 mmol L<sup>-1</sup> pH 7.0磷酸缓冲液、1 g L<sup>-1</sup> X-Gluc、10 mmol L<sup>-1</sup> EDTA、0.1% Triton X-100、50 nmol L<sup>-1</sup> K<sub>4</sub>[Fe(CN)<sub>6</sub>]、50 nmol L<sup>-1</sup> K<sub>3</sub>[Fe(CN)<sub>6</sub>])<sup>[11]</sup>浸没根段,37℃温育12 h,95%乙醇冲洗后,解剖镜下观察结果。

## 1.6 转化根的除菌

从愈伤组织处剪下的转化根,转接到双重培养基(MSR)上,22~25℃暗培养,每10~15 d,剪取转化根根尖(约4 cm)转接新鲜MSR培养基,转接3~4次以完全除去转化根所带细菌。

双重培养采用MSR培养基,组分为(mg L<sup>-1</sup>): MgSO<sub>4</sub>·7H<sub>2</sub>O 739; KNO<sub>3</sub> 76; KCl 65; KH<sub>2</sub>PO<sub>4</sub> 4.1; Ca(NO<sub>3</sub>)<sub>2</sub>·4H<sub>2</sub>O 359; Na-FeEDTA 1.6; MnSO<sub>4</sub>·4H<sub>2</sub>O 2.45; ZnSO<sub>4</sub>·7H<sub>2</sub>O 0.28; H<sub>3</sub>BO<sub>3</sub> 1.85; CuSO<sub>4</sub>·5H<sub>2</sub>O 0.22; Na<sub>2</sub>MoO<sub>4</sub>·2H<sub>2</sub>O 0.0024; NH<sub>4</sub>MoO<sub>4</sub> 0.034; 泛酸钙 0.9; 生物素 0.0001; 烟酸 0.1; 盐酸吡哆素 0.09; 盐酸硫胺素 0.1; 钴胺素 0.04; 蔗糖 10 000; 琼脂 8 000; pH 5.5。

## 1.7 孢子的接种

剪取在MSR培养基上生长15~20 d、长度约5~6 cm紫云英Ri T-DNA转化根两条,首尾并排放于含有MSR培养基的平皿一端。*G. intraradices*为保藏在MSR培养基中的成熟孢子,用解剖刀将培养基切成2 mm小块(每个小块约有10~20个孢子)

放到距Ri T-DNA紫云英转化根根尖约1 cm处。每皿接种5~6个带*G. intraradices*的培养基块,25℃倒置暗培养。

## 1.8 AM真菌侵染根器官的检查

接种后每5 d取出平皿在体视显微镜下观察菌丝的分布、与根的接触情况、新孢子的形成等。40 d后开始收获。80℃水浴溶化培养基后,取出根段,剪成约1 cm长,采用Trouvelot等<sup>[12]</sup>描述的Trypan blue(TB)染色法进行染色,显微镜下观察AM真菌侵染根器官情况。

## 1.9 数据统计与分析

试验数据采用统计分析软件DPS V6.55版,显著性分析采用Duncan's多重比较测验法。

## 2 结果与分析

### 2.1 Km对紫云英Ri T-DNA转化根筛选的影响

转化根因被转入质粒pBI121而具有Km抗性,非转化根没有Km抗性,因此在生根培养基中加入Km能抑制紫云英非转化根的生长而提高紫云英生根植株的转化率。

紫云英植株转化后20 d,观察其在不同Km浓度培养基上的生长状况。在不加Km的培养基上生长的紫云英,切口处很少长出愈伤组织,非转化根生长旺盛,生根植株转化率仅为46.9(±2.7)% (见表1)。而在加有20、40 mg L<sup>-1</sup> Km培养基上,紫云英切口处形成愈伤组织并长出转化根,且生根植株的转化率随着培养基中Km浓度的增高而增高。而在含有60 mg L<sup>-1</sup> Km培养基上紫云英叶片变黄正常生长受抑制(数据未检测)。可见Km能够有效抑制非转化根的生长,明显提高生根植株的转化率。在Km浓度为40 mg L<sup>-1</sup>时生根植株转化率约为对照的2倍。

表1 Km浓度对紫云英转化根筛选的影响

Km浓度(mg L <sup>-1</sup> )	植株数	生根植株转化率 <sup>1)</sup> (%)
0	60	46.9 ± 2.7c
20	60	68.7 ± 1.0b
40	60	84.0 ± 3.3a
60	60	ND <sup>2)</sup>

1)数据后的不同字母表示p<0.01水平上差异极其显著;

2)ND,数据未检测

## 2.2 紫云英Ri T-DNA转化根的鉴定结果

标记为A的根段经GUS组织染色后呈现阳性即深色根段,表明Ri质粒已经成功转入紫云英根

段,而对照的紫云英根段 B 呈现 GUS 阴性即白色根段(图 1)。这表明从愈伤组织处长出的无向地性、颜色较白、分枝多的根段均可确定为转化根。

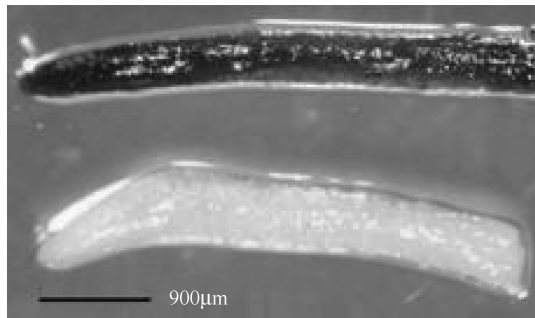


图 1 紫云英 Ri T-DNA 转化根 GUS 染色

### 2.3 紫云英 Ri T-DNA 转化根的生长情况

紫云英转化后约 7 d 就长出愈伤组织,14 d 左右从愈伤组织处长出转化根,转化根与非转化根相比较有较明显的特征:转化根无向地性,颜色较白,分枝多,根毛多(图 2)。

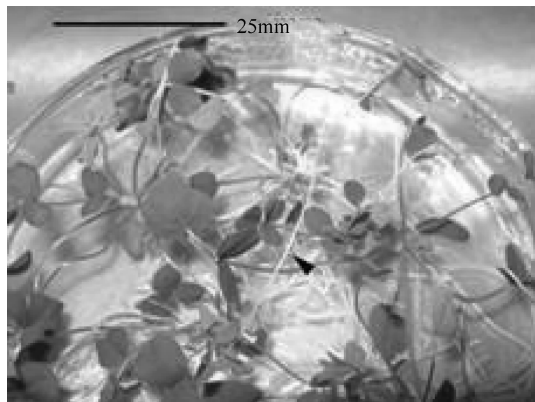


图 2 紫云英 Ri T-DNA 转化根(箭头)

新接种的紫云英 Ri T-DNA 转化根段在 MSR 培养基上生长迅速,根尖平均生长速度约  $4 \text{ mm d}^{-1}$ ,分枝细,根毛多。由于转化根的生长无向地性,转化根在生长过程中一部分伸向培养基中一部分伸向空中。经过 3~4 代除菌后,生长 15 d 左右的转化根段即可用于双重培养体系。

### 2.4 *G. intraradices* 的萌发状况及对紫云英 Ri T-DNA 转化根的侵染

含有 *G. intraradices* 琼脂块在 MSR 培养基上 3 d 开始萌发,每个孢子只有一个萌发管,新形成的菌丝较纤细且生长速度很快,并形成分枝状结构,菌丝的生长表现出明显的趋根性,7 d 后菌丝接触到根段,随后部分菌丝包围根段,在根段表层形成附着胞结构(图 3),表明双重培养体系已经初步建

立。约 15 d 外生菌丝布满平皿并形成很多成促生长的分枝状结构。TB 染色后可以清晰地看到 *G. intraradices* 在根内形成的泡囊(图 3)和丛枝(图 3)。

培养 21 d 形成第一个次生孢子,30 d 后,在培养皿中形成大量的成熟孢子(图 3)。新形成的孢子离根较远,大部分在培养基内部,培养基上空也有少量新形成的成熟孢子。本实验发现,接种后一个月是孢子形成的最旺盛时期,且产孢集中在大约一周的时间内,尤其是紫云英 Ri T-DNA 转化根开始变黄的时候产孢最旺盛。

## 3 讨 论

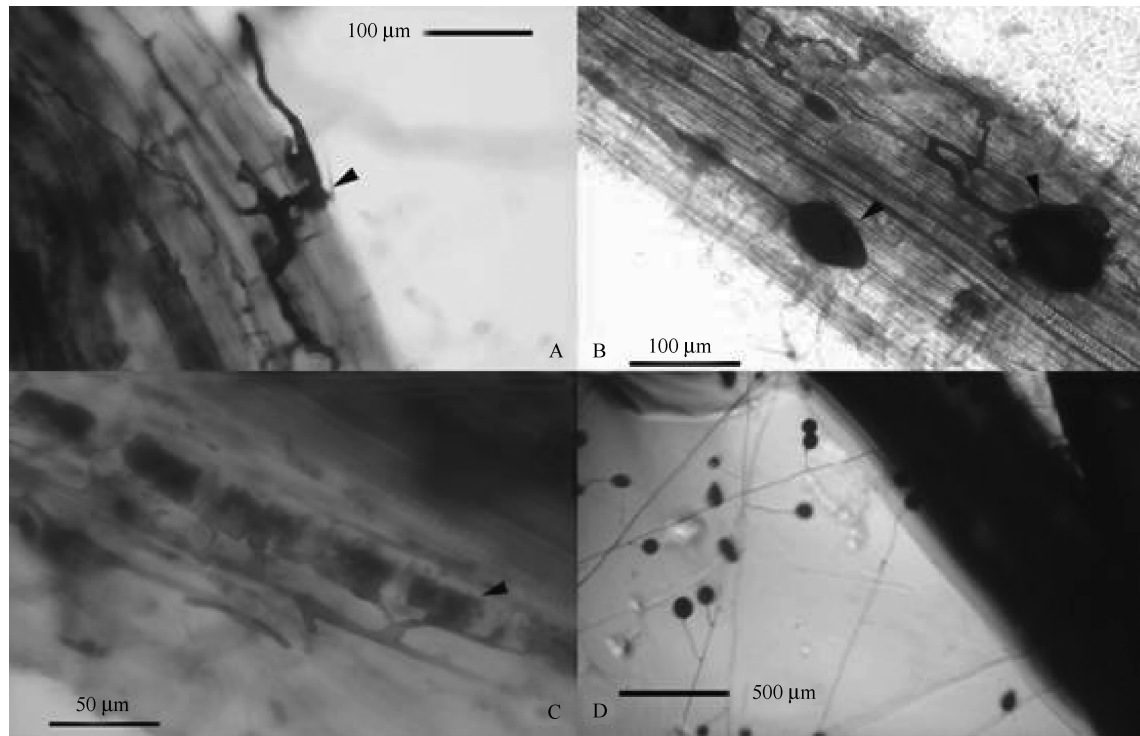
从本研究结果来看,合适的抗生素浓度对紫云英转化根形成的效率影响较大。适当的 Km 浓度( $\text{mg L}^{-1}$ )会提高紫云英 Ri T-DNA 转化根形成的效率,而过高的 Km 浓度( $60 \text{ mg L}^{-1}$ )抑制转化根形成。当 Km 浓度为  $40 \text{ mg L}^{-1}$  时,紫云英转化根因 Ri T-DNA 所带的 Km 抗性而大量生长,非转化根则受到 Km 抑制生长缓慢且数量较少。当 Km 浓度为  $60 \text{ mg L}^{-1}$  时,由于浓度过高,无论转化根还是非转化根均受到抑制。这与 Boisson-Dernier 等的研究结果相一致<sup>[13]</sup>。

AM 真菌与紫云英双重培养体系的建立具有重要的理论和现实意义,是研究 AM 真菌形态学、生理学、生物与非生物胁迫应答、根际生物(PGPR、病原菌、线虫)的相互作用、分类系统进化等方面的理想模式,更是目前公认的唯一能够提供无污染 AM 真菌材料的方法,这使分子生物学、生物化学技术广泛应用到 AM 真菌的研究中。采用此双重培养体系能够进行 AM 真菌与豆科植物相互识别信号和共生机制的研究。同时此双重培养体系也使 AM 真菌、豆科植物与根瘤菌离体三重培养体系的建立成为可能,将为揭示两类微生物共侵染过程及相互作用机制起到推动作用。

本实验中 AM 真菌 *G. intraradices* 次生孢子形成的高峰期集中在 7~10 d 的时间。Bago 等利用番茄和 *G. intraradices* 构建的双重培养体系也观察到同样的结果<sup>[14]</sup>。这个现象可能与观察所选取的时间范围、菌种本身的特性或某些培养条件有关。本实验中也观察到,在菌丝生长过程中,未接触到根段的菌丝会分化成 3~4 级的分枝吸收结构(Branched absorbing structures, BAS),这种结构大多

以垂直主干菌丝的方向生长。Becard 和 Fortin 认为 BAS 可能是外生菌丝与根直接作用的结果<sup>[8]</sup>。Karandashov 等则认为培养基成分的改变如培养过程中培养基 pH 的降低、根产生的代谢产物等均可

能促进外生菌丝产生 BAS<sup>[15]</sup>。BAS 是否仅存在于双重培养体系中,我们还知之甚少。因此还需要进一步研究 BAS 的成因以及 BAS 的具体功能。



A *G. intraradices* 形成的附着孢(箭头)  
C *G. intraradices* 形成的丛枝(箭头)  
B *G. intraradices* 形成的泡囊(箭头)  
D 新形成的 *G. intraradices* 孢子

图 3 *G. intraradices* 侵染紫云英 Ri T-DNA 转化根 TB 染色及新孢子形成

## 参 考 文 献

- [1] Remy W, Taylor T N, Hass H, et al. Four hundred-million-year-old vesicular arbuscular mycorrhizae. Proc Natl Acad Sci USA, 1994, 91:11 841—11 843
- [2] Li X L, Geoerge E, Marschner H. Extension of the phosphorus depletion zone in VAM white clover in a calcareous soil. Plant Soil, 1991, 136:41—48
- [3] Li X L, Geoerge E, Marschner H. Phosphorus depletion and pH decrease at the root-soil and hyphae-soil interfaces of VAM white clover fertilized with ammonium. New Phytol, 1991, 119: 397—404
- [4] Tian C J, He X Y, Zhong Y, et al. Effect of inoculation with ecto-and arbuscular mycorrhizae and *rhizobium* on the growth and nitrogen fixation by black locust, *Robinia pseudoacacia*. New Forest, 2003, 25:125—131
- [5] Xavier L J C, Germida J J. Selective interactions between arbuscular mycorrhizal fungi and *rhizobium leguminosarum* bv. viceae enhance pea yield and nutrition. Biol Fert Soils, 2003, 37: 261—267
- [6] Mugnier J, Mosse B. Vesicular-arbuscular mycorrhizal infection in transformed root-inducing T-DNA roots grown axenically. Phytopathology, 1987, 77:1 045—1 050
- [7] Becard G, Fortin J A. Early events of vesicular-arbuscular mycorrhiza formation on Ri T-DNA transformed roots. New Phytol, 1988, 108:211—218
- [8] Becard G, Piche Y. New aspects of the acquisition of biotrophic status by a vesicular-arbuscular mycorrhizal fungus, *Gigaspora margarita*. New Phytol, 1989, 112:77—83
- [9] Becard G, Piche Y. Establishment of vesiculat-arbuscular mycorrhizae in root organ culture: Review and proposed methodology. Method Microbiol, 1992, 24: 89—108
- [10] Li Y, Zhou L, Li Y, et al. A nodule-specific plant cysteine proteinase, AsNODF32, is involved in nodule senescence and nitrogen fixation activity of the green manure legume *Astragalus sinicus*. New Phytol, 2008, 180(1):185—192
- [11] Hu C, Chee P P, Chesney R H, et al. Intrinsic GUS-like activities in seed plants. Plant Cell Rep, 1990, 9: 1—5
- [12] Trouvelot A, Kough J L, Gianinazzi-Pearson V. Mesure du taux de mycorhization VA dun systeme radiculaire. Recherche de methodes destimation ayant une signification fonctionnelle//Gianinazzi-Pearson V, Gianinazzi S. Physiological and genetical as-

pects of mycorrhizae. Paris: INRA, 1986: 217—221

- [13] Boisson-Dernier A, Chabaud M, Garcia F, et al. Agrobacterium rhizo-genes-transformed roots of *Medicago truncatula* for the study of nitrogen-fixing and endomycorrhizal symbiotic associations. *Mol Plant Microb Interact*, 2001, 14: 695—700

- [14] Bago B, Azcón-aguilar C, Goulet A, et al. Branched absorbing structures (BAS): A feature of the extraradical mycelium of

symbiotic arbuscular mycorrhizal fungi. *New Phytol*, 1998, 139: 375—388

- [15] Karandashov V, Kuzovkina I, Hawkins H J, et al. Growth and sporulation of the arbuscular mycorrhizal fungus *Glomus caledonicum* in dual culture with transformed carrot roots. *Mycorrhiza*, 2000, 10: 23—28